

14W Hi-Fi одноканальный аудио усилитель TDA2030

Описание

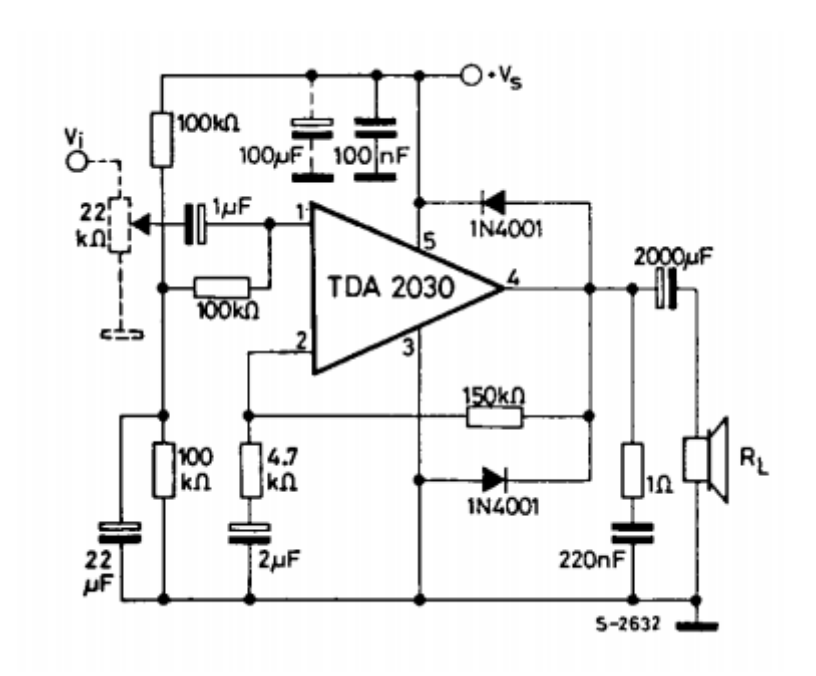
TDA2030 является монолитной интегральной схемой, выпускается в Pentawatt корпусе. Предназначена для использования в качестве усилителя низкой частоты класса АВ. Как правило, она обеспечивает 14W выходной мощности (d = 0.5%) при 14V (двухполярном) или 28V (однополярном) напряжении питания и нагрузкой в 4 Ом, гарантированная выходная мощность 12W на 4 Ом нагрузки и 8W на 8 Ом.

TDA2030 обеспечивает высокий выходной ток и имеет низкие гармонические и переходные искажения. Предусмотрена оригинальная защита от короткого замыкания на выходе. Модуль защиты содержит устройство для автоматического ограничения рассеиваемой мощности таким образом, чтобы сохранить рабочую точку выходных транзисторов в пределах их безопасной эксплуатации. Имеется схема отключения при перегреве.

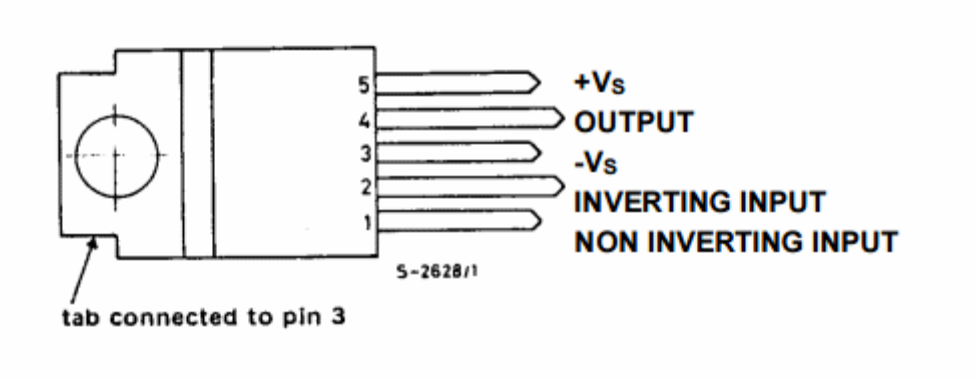
Абсолютные максимальные значения

- Vs Напряжение питания ± 18 (36) V
- Vi Входное напряжение Vs
- Vi Дифференциальное входное напряжение ± 15 V
- Іо Максимальный выходной ток (внутренне ограничивается) 3.5 А
- Ptot Мощность рассеивания при Ткорпуса = 90°C 20 W
- Tstg, Tj Температура хранения и температура кристалла -40 до 150 °C

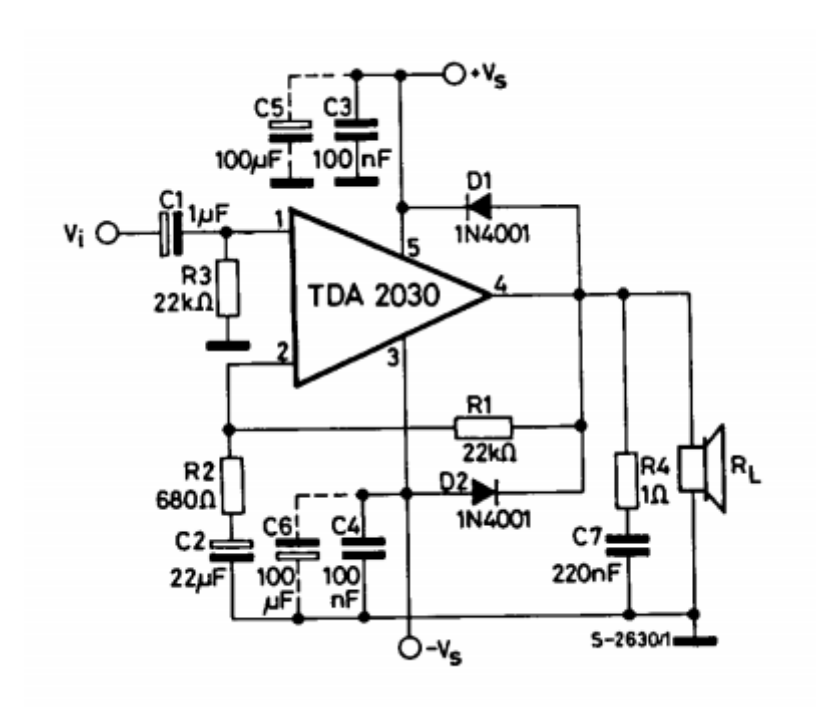
Типовая схема включения tda2030



Распиновка tda2030 (вид сверху)



Испытательная схема



Температурные данные

THERMAL DATA

| Symbol | Parameter | | Unit |
|------------------------|--------------------------------------|---|------|
| R _{th j-case} | Thermal resistance junction-case max | 3 | °C/W |

Электрические характеристики TDA2030

ELECTRICAL CHARACTERISTICS (Refer to the test circuit, V_s = \pm 14V , T_{amb} = 25°C unless otherwise specified) for single Supply refer to fig. 15 Vs = 28V

| Symbol | Parameter | Test conditions | Min. | Тур. | Max. | Unit |
|----------------|----------------------------|--|---------------|------------|------------|----------|
| Vs | Supply voltage | | ±6 12 | | ± 18 36 | ٧ |
| ld | Quiescent drain current | | | 40 | 60 | mA |
| l _b | Input bias current | | | 0.2 | 2 | μА |
| Vos | Input offset voltage | V _s = ± 18V (Vs = 36V) | | ± 2 | ± 20 | mV |
| los | Input offset current | | | ± 20 | ± 200 | nA |
| Po | Output power | $\begin{array}{ll} d=0.5\% & G_v=30 \ dB \\ f=40 \ to \ 15,000 \ Hz \\ R_L=4\Omega \\ R_L=8\Omega \end{array}$ | 12 8 | 14 9 | | 88 |
| | | $\begin{array}{ll} d=10\% & G_v=30 \; dB \\ f=1 \; KHz & \\ R_L=4\Omega & \\ R_L=8\Omega & \end{array}$ | | 18 11 | | 88 |
| d | Distortion | P_{o} = 0.1 to 12W R_{L} = 4 Ω G_{v} = 30 dB f = 40 to 15,000 Hz | | 0.2 | 0.5 | % |
| | | $P_o = 0.1 \text{ to 8W}$ $R_L = 8\Omega$ $G_v = 30 \text{ dB}$ f = 40 to 15,000 Hz | | 0.1 | 0.5 | % |
| В | Power Bandwidth (-3 dB) | $G_V = 30 \text{ dB}$ $P_0 = 12W$ $R_L = 4\Omega$ | 10 to 140,000 | | Hz | |
| Ri | Input resistance (pin 1) | | 0.5 | 5 | | MΩ |
| G _v | Voltage gain (open loop) | | | 90 | | dB |
| G _v | Voltage gain (closed loop) | f = 1 kHz | 29.5 | 30 | 30.5 | dB |
| e _N | Input noise voltage | B = 22 Hz to 22 KHz | | 3 | 10 | μV |
| i _N | Input noise current | | | 80 | 200 | pA |
| SVR | Supply voltage rejection | $\begin{array}{ll} R_L = 4\Omega & G_v = 30 \text{ dB} \\ R_g = 22 k\Omega \\ V_{ripple} = 0.5 V_{eff} \\ f_{ripple} = 100 \text{ Hz} \end{array}$ | 40 | 50 | | dB |
| ld | Drain current | $\begin{array}{ccc} P_0 = 14W & R_L = 4\Omega \\ P_0 = W & R_L = 8\Omega \end{array}$ | | 900 500 | | mA mA |

Рисунок 1. Выходная мощность по сравнению с напряжением питания.

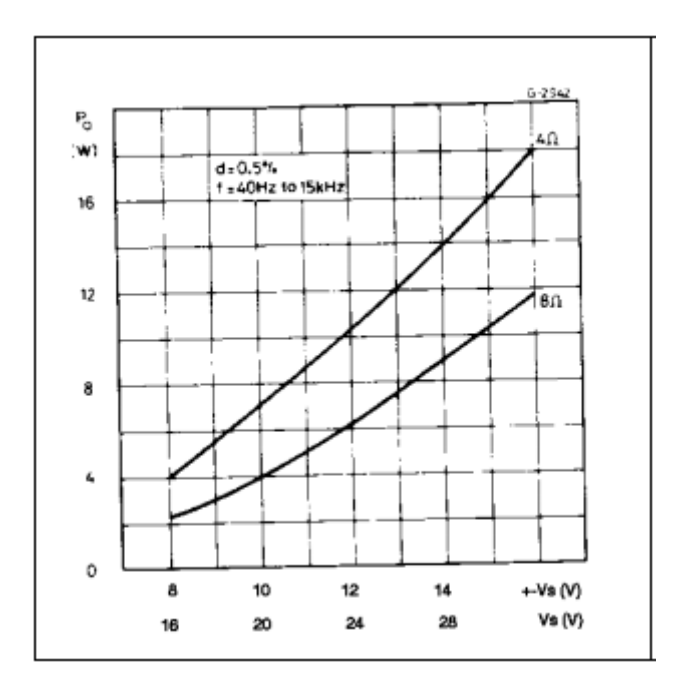


Рисунок 2. Выходная мощность по сравнению с напряжением питания.

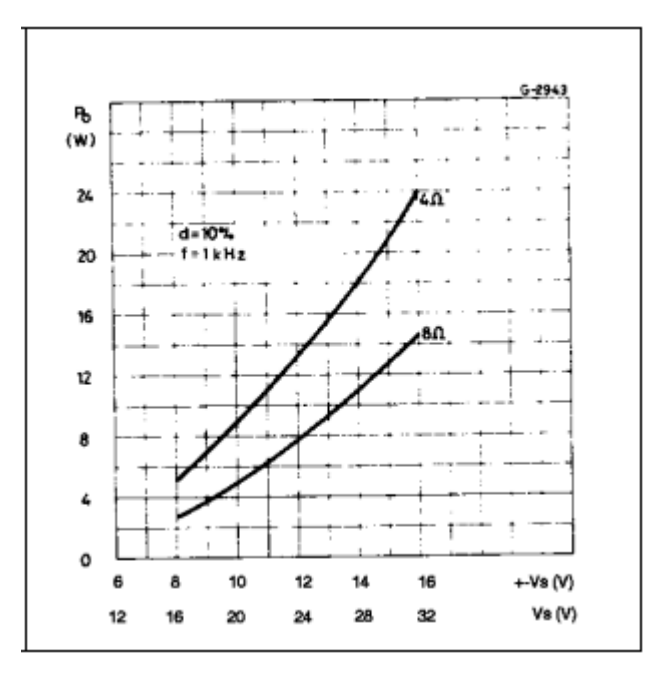


Рисунок 3. Искажения в зависимости от выходной мощности.

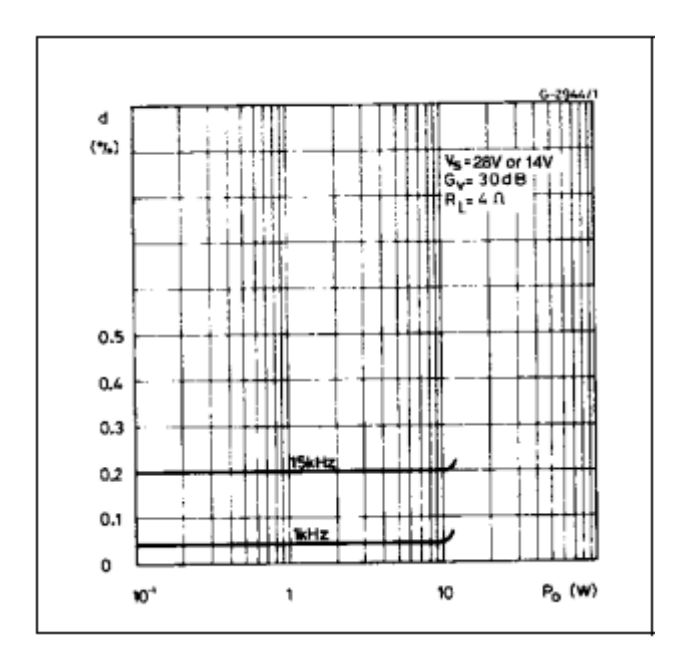


Рисунок 4. Искажения в зависимости от выходной мощности.

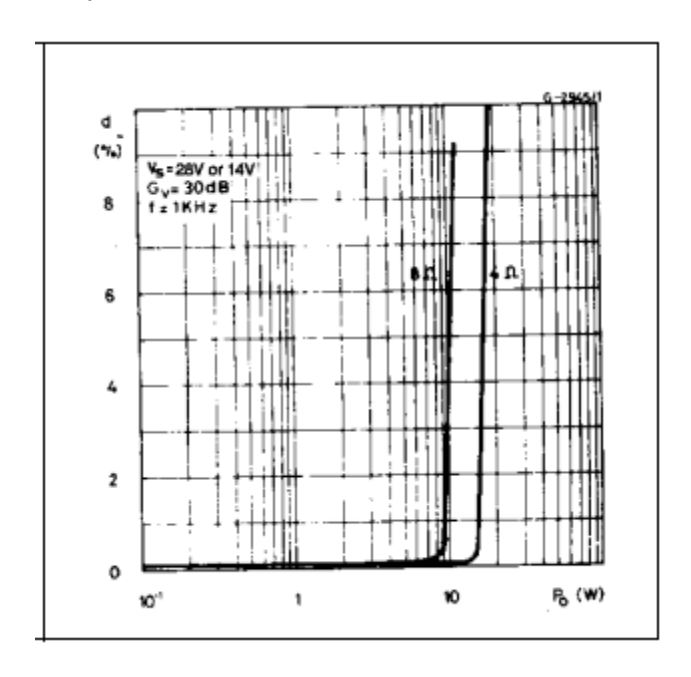


Рисунок 5. Искажения в зависимости от выходной мощности.

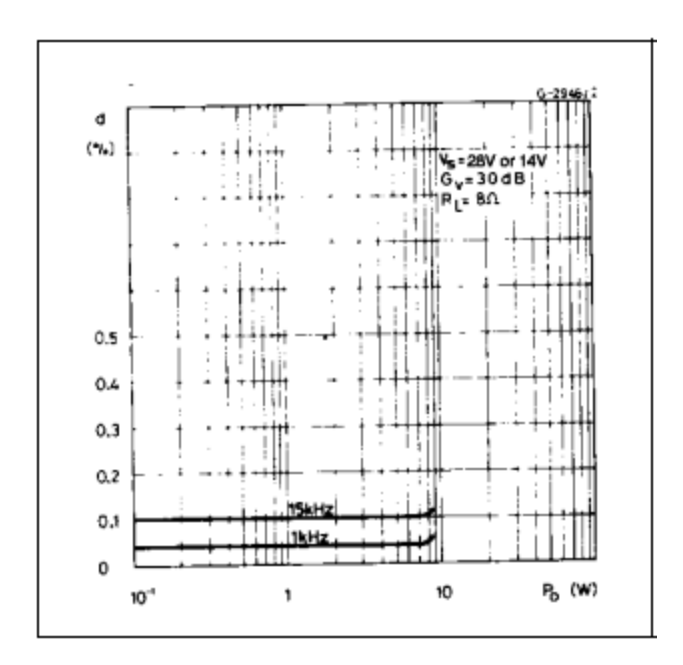


Рисунок 6. Искажения в зависимости от частоты.

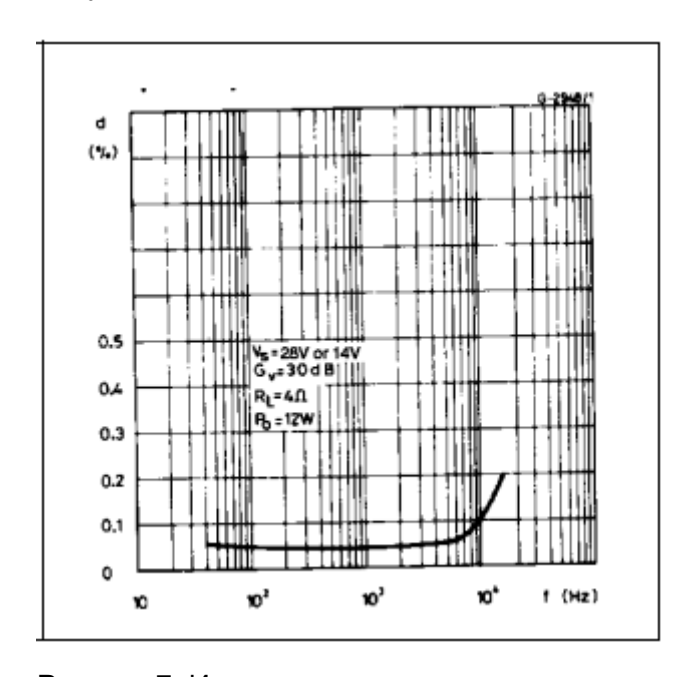


Рисунок 7. Искажения в зависимости от частоты.

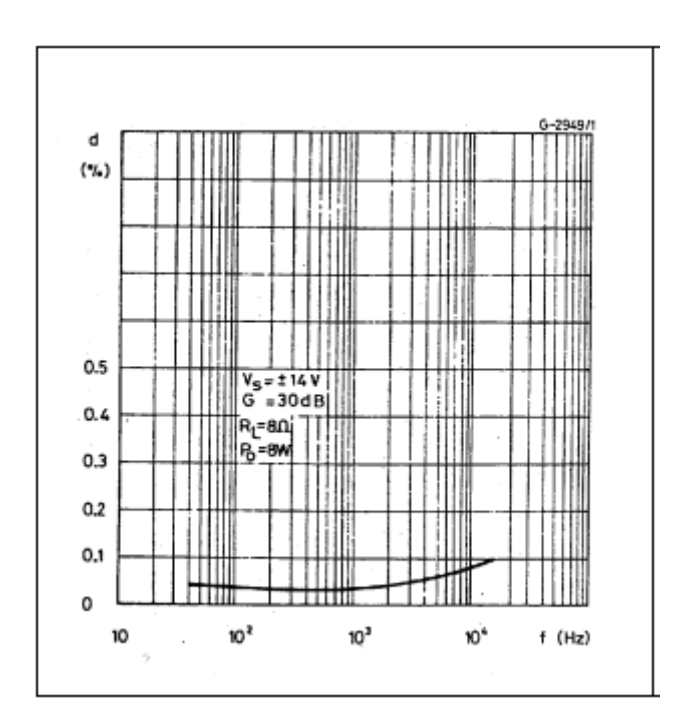


Рисунок 8. Частотный диапазон с различными значениями конденсатора С8 (см. рис. 13).

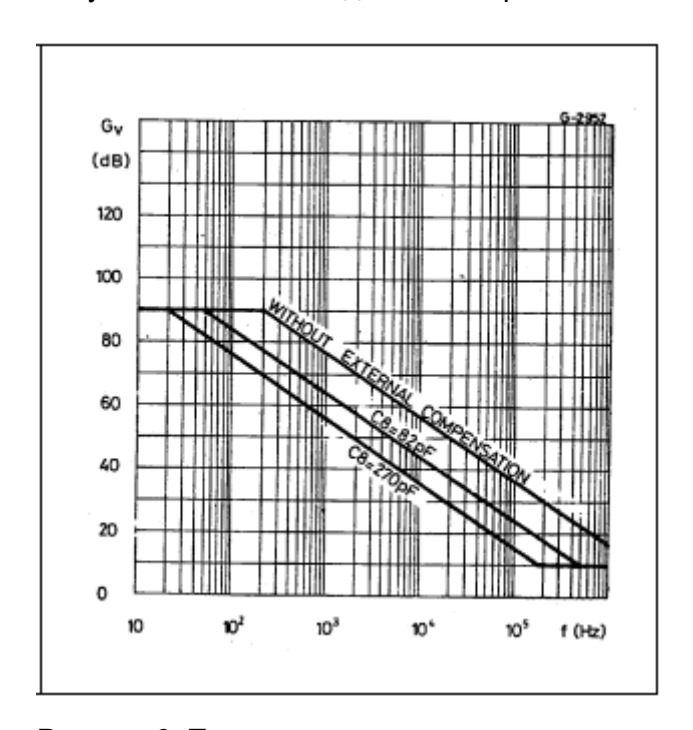


Рисунок 9. Ток покоя в зависимости от напряжения.

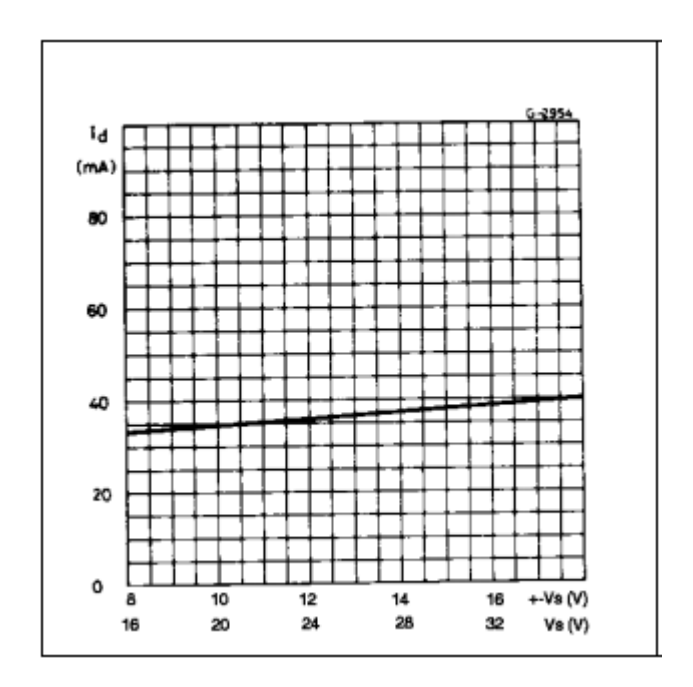


Рисунок 10. Подавление помех питания в зависимости от усиления по напряжению.

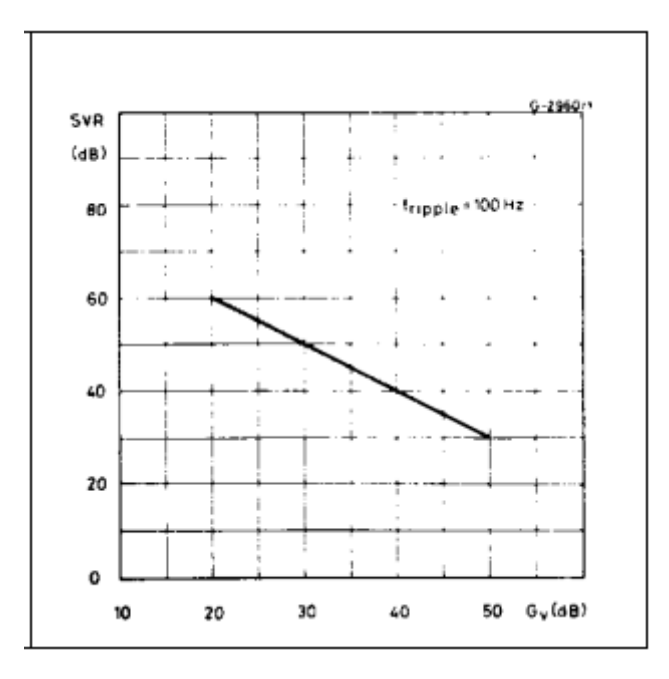


Рисунок 11. Мощность рассеиваемая и эффективность в зависимости от выходной мощности.

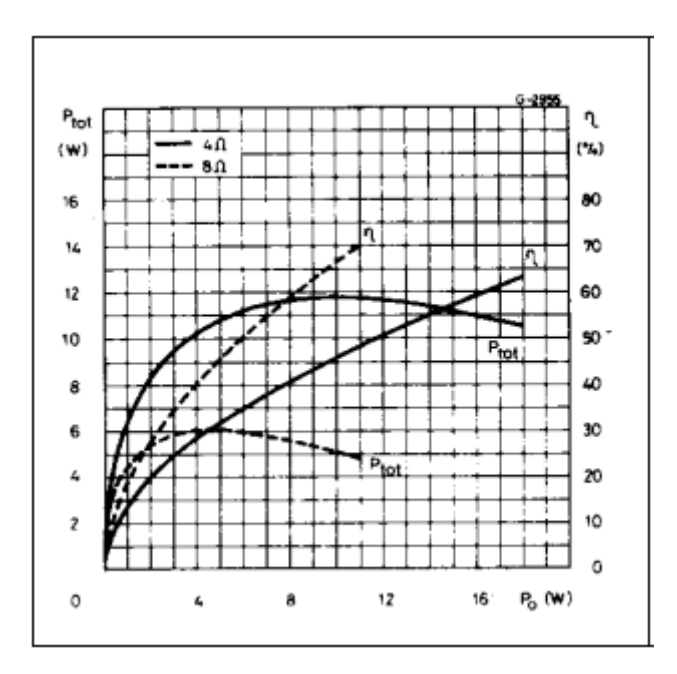


Рисунок 12. Максимальная рассеиваемая мощность в зависимости от напряжения питания.

